

論文

UDC 539.431/.433 : 669.111.3 : 621.785 : 620.18

種々の熱処理組織を有する炭素鋼(0.13~0.41% C含) の疲労特性*

堀部 進**・佐川竜平***・藤田利夫****・荒木 透*****

Fatigue Properties of Carbon Steels (Containing 0.13~0.41% C)
with Various Heat Treated Structures

Susumu HORIBE, Ryuhei SAGAWA, Toshio FUJITA, and Toru ARAKI

Synopsis:

The relationships between microstructures and cyclic properties such as the Bauschinger effect, fatigue damage, crack initiation, and crack propagation in carbon steels were investigated. For each heat treatment the cyclic stress or strain response was measured until the crack initiation. Optical metallography and transmission microscopy were used to characterize the microstructural changes during testing. Fatigue crack propagation properties were reported using the empirical equation $da/dN = C(\Delta K)^m$.

It was found that Bauschinger behaviour was well reflected in low cycle fatigue properties, and the higher was Bauschinger stress of the structure, the more remarkable was the softening. During high cycle fatigue process the dispersion of the fine pearlite and cementite is found to facilitate the cross slip and to result in high plastic strain, but the existence of subboundaries tends to restrict the increase of the plastic strain. Fatigue crack initiation sites depended on the heat treated structures for one steel. It was found that at the low ΔK level fatigue crack propagation properties were not affected by various strengthening structural factors, but generally controlled only by the mechanical properties of matrix.

1. 緒 言

純鉄もしくは焼鈍した低炭素鋼が応力や歪の繰返しを受けた場合に形成される転位組織については、KLESNILとLUKÁŠ^{1)~4)}, McGRATHとBRATINA⁵⁾⁶⁾, WEIとBAKER⁷⁾⁸⁾, LAWRENCE, Jr.ら⁹⁾, あるいは川辺ら¹⁰⁾¹¹⁾の報告があり、疲労後のフェライト相内の転位配列はかなり明確化されてきているようである。また一方、これらの材料の繰返し過程での塑性挙動についてもいくつか報告されており²⁾⁴⁾⁹⁾¹²⁾¹³⁾、両者を有機的に結びつけることが疲労損傷という現象を解明する鍵となる。しかしながら現時点においてはかかる単純な材料組織においてすら両者の関係が明らかにされているとは言い難い。また炭素鋼における歪時効現象は疲労特性と密接な関係を有するため、近年かなりの研究が行なわれるようになつてきただようである^{14)~18)}。

本報では、炭化物存在形態が異なる炭素鋼の繰返し塑性挙動を内部微視組織変化との対応において調べ、種々の組織因子が疲労損傷におよぼす影響を明確にするとともに、疲労き裂の発生および伝播挙動の組織依存性も検討した。

2. 実験方法

2.1 供試材

用いた試料は市販の炭素鋼(S15C, S25C, およびS40C)で、それらの化学組成をTable 1に示した。疲労試験片は1000°C熱間圧延した素材に後述の熱処理を施した。

Table 1. Chemical composition of materials (wt%).

	C	Si	Mn	P	S	Ni	Cr	Mo	Cu	Sn	As	Al
S15C	0.13	0.29	0.47	0.020	0.018	0.09	0.21	0.05	0.22	0.019	0.014	0.013
S25C	0.23	0.23	0.43	0.014	0.014	0.09	0.21	0.04	0.13	0.011	0.008	0.045
S40C	0.41	0.20	0.77	0.016	0.010	0.08	0.18	0.04	0.13	0.013	0.010	0.031

* 昭和50年10月日本会講演大会にて発表 昭和52年3月7日受付 (Received Mar. 7, 1977)

** 東京大学大学院(現 金属材料技術研究所) (Graduate School, The University of Tokyo, Now National Research Institute for Metals 2-3-12, Nakameguro Meguro-ku Tokyo 153)

*** 東京大学工学部 (Faculty of Engineering, The University of Tokyo)

**** 東京大学工学部 工博 (Faculty of Engineering, The University of Tokyo)

***** 金属材料技術研究所 工博 (National Research Institute for Metals)

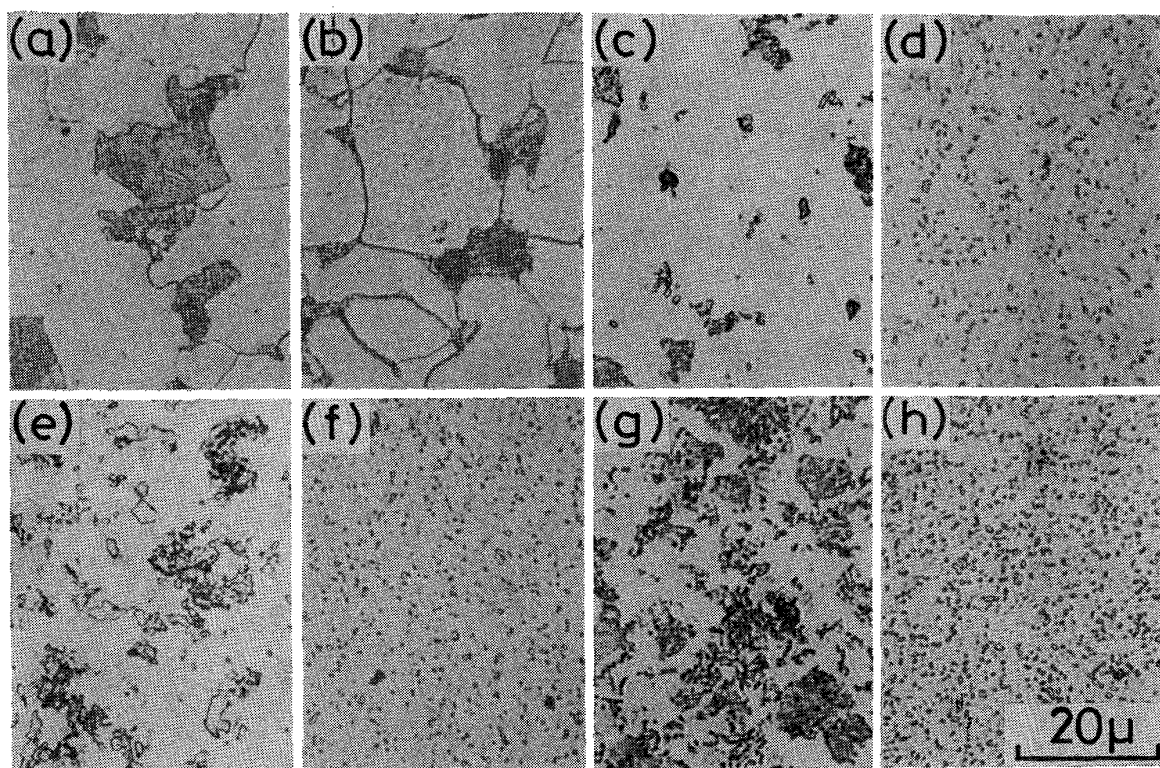


Photo. 1. Optical micrographs of steels after heat treatment.

- | | | | |
|-----|-------------------|-----|--------------------|
| (a) | S 15C-structure A | (b) | S 15C-structure A' |
| (c) | S 15C-structure B | (d) | S 15C-structure C |
| (e) | S 25C-structure B | (f) | S 25C-structure C |
| (g) | S 40C-structure B | (h) | S 40C-structure C |

Table 2. Heat treatment of steels.

No.	Heat treatment	Steel
A	890°C (30 min) FC	S 15C
A'	890°C (30 min) FC, 700°C (30 min) WQ → Aging at RT (about 40 days)	S 15C
B	890°C (30 min) 850°C (30 min) → WQ, 780°C (45 min) → 500°C → 710°C (75 min) AC 820°C (30 min)	S 15C S 25C S 40C
C	890°C (30 min) 850°C (30 min) → WQ, 710°C (120 min) AC 820°C (30 min)	S 15C S 25C S 40C

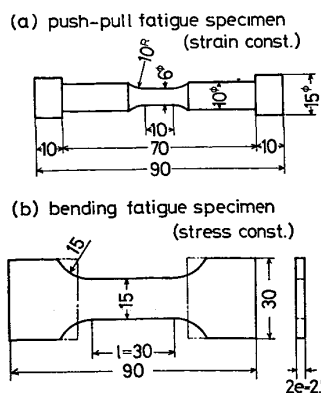


Fig. 1. Fatigue test specimens.

後、所定形状寸法 (Fig. 1) に切削加工し、機械研磨および電解研磨を行なつて供試試片とした。

2.2 热処理条件および顕微鏡組織

Table 2 に热処理条件を示した。Photo. 1 はそれらの热処理後に得られた组织の光学顕微鏡写真である。组织 A と组织 A' は結晶粒径の等しいフェライト+パーライト组织であるが、组织 A' は低温焼入を行ない、試験開始まで (約 40 日間) 常温時効しているため、極めて微細な ϵ -炭化物がフェライト中に分散している。组织 B は次のような热処理を施したものである。各鋼種とも A_3 変態点の上 $30^{\circ}\sim 40^{\circ}\text{C}$ より 0°C 氷水中に焼入し

Table 3. Size of the structures (μ).

Steel	S 15C				S 25C		S 40C	
Structure	A	A'	B	C	B	C	B	C
Ferrite grain size	17	17	8	2.5*	6	1.4*	4	0.7*
Carbide spacing	—	—	—	2.0	—	1.5	—	0.8
Carbide size	—	—	0.4	0.3	0.8	0.3	0.3	0.3

* Sub grain size

Table 4. Mechanical properties of structures.

Steel	S 15C				S 25C		S 40C	
Structure	A	A'	B	C	B	C	B	C
U. T. S. (kg/mm ²)	47.5	61.5	50.3	50.7	48.9	53.1	65.8	65.6
L. Y. P. (kg/mm ²)	32.6	46.5	37.7	41.2	38.3	42.1	44.4	56.5
Elongation (%)	34.6	20.4	37.9	29.5	31.4	27.5	30.0	27.8
Reduction of area (%)	69.8	65.5	75.0	78.6	75.0	79.8	65.5	71.1

た後、再び 780°C に加熱することによってセメンタイトを析出分散した組織が得られるが、 A_1 変態点以上であるため球状化セメンタイトは凝集粗大化し、また一部組織はオーステナイトに変態する。その後 500°C まで炉冷することによってオーステナイト組織はフェライト + パーライト組織に変態する。したがつてこの処理によって比較的微細なパーライトとセメンタイトとが共存した組織が得られる。またさらにその後、 710°C 加熱保持を行ない空冷した。この処理過程は組織 C の冷却速度にそろえる意図で行なつたものであるが、セメンタイトの球状化促進にも若干の寄与をしているものと考えられる。組織 C は組織 B と同様の焼入処理を施した後、 710°C で 120 min 加熱保持することによって得られた球状化セメンタイトのみが均一に分散した組織である。なお組織 B はその焼戻し温度が A_1 変態点以上であるため焼戻し過程で生ずる亜粒界は完全に anneal out されているが、組織 C には亜粒界の存在が認められていた。

Table 3 に各組織の結晶粒径、炭化物間隔およびその大きさを掲げたが、組織 B におけるセメントサイトの大きさは S 25C の場合が最大であつた。なおこれら炭化物の大きさは FULLMAN の方法¹⁹⁾により、また間隔 d は $d = 1/\sqrt{N_A}$ (N_A : 単位面積あたりの粒子数) からそれぞれ求め、亜粒径は透過電顕写真から切断法によつて求めた。

2・3 実験方法

各組織について引張試験(試験片平行部長さ: 28 mm)をクロスヘッド速度 1 mm/min で行ない、降伏応力、

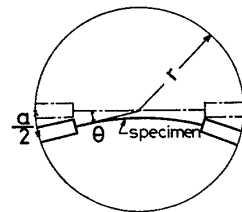


Fig. 2. Measurement of strains.

引張強さ、伸びおよび絞りの値を求めた。

疲労試験は定歪試験と定応力試験の2種類行なつた。すなわち定歪試験では歪振幅0.6, 2, 4%の引張圧縮(平均歪ゼロ)疲労試験を行ない、 10^2 サイクルまでの応力振幅の変化を測定したほか、Bauschinger応力をも求めた。なおこの試験における歪速度は $\dot{\epsilon}=0.008/\text{min}$ とした。またさらに高サイクルまでの疲労挙動は、シェンク式疲労試験機を用い、応力振幅一定の両振曲げ試験(繰返し速度:450cpm)を行なうことにより調べた。この試験では繰返し過程での塑性歪振幅を測定したが、その測定原理をFig.2に示した。すなわち試験片には常に設定荷重が負荷されているように加振端変位を増減し、それに伴なつて生ずる試験片両端の相対変位量 a の変化を差動トランジスタにより動的に測定し、(1)式、(2)式から塑性歪振幅 ϵ_p を算出した。

$$\theta = \frac{a}{2r}$$

$$\varepsilon_p = \varepsilon_t - \varepsilon_e \dots \dots \dots \dots \dots \dots \quad (2)$$

ここで ϵ_t , ϵ_e はそれぞれ全歪および弾性歪である。さらにこの疲労過程での表面および内部の組織変化を光学顕微鏡や透過型電子顕微鏡（加速電圧：150 kV）により観察し、塑性歪振幅の変化挙動との関係を検討した。この際の透過電顕用薄膜はすべて試験片の表面下 150 μ の位置より採取した。

また切欠試験片 (Fig. 1 (b)) の試験片に深さ 2 mm, 幅 0.1 mm, 切欠底半径 0.05 mm の片側切欠を加工したもの) に面内曲げ応力を作用することにより疲労き裂伝播挙動を観察し、き裂伝播速度の組織依存性の解明も試みた。なおこの際の疲労条件は、最大応力 $\sigma_{\max} = 14 \sim 22 \text{ kg/mm}^2$, 応力比 $R = \sigma_{\min}/\sigma_{\max} = 0.03$, 繰返し速度 1 000 cpm の片振曲げ試験とした。

3. 実験結果

3.1 引張特性

Table 4 に引張試験結果を示した。S 15C に関しては低温焼入を行なつた組織 A' が引張強さ、降伏応力ともに最も高く、それに次いで組織 C, 組織 B, 組織 A の順である。しかしながら組織 B と組織 C の引張強さは炭素含有量が高い鋼種の場合においてもほぼ等しい値を示している。S 25C 組織 B の場合に同熱処理を施した S 15C よりも強度が低いが、これは Photo. 1 の組織写真から明らかなようにやや粗大なセメントイトを含有していることに起因すると考えられる。

3.2 Bauschinger 効果

Bauschinger 応力は、応力-歪ヒステリシス曲線における

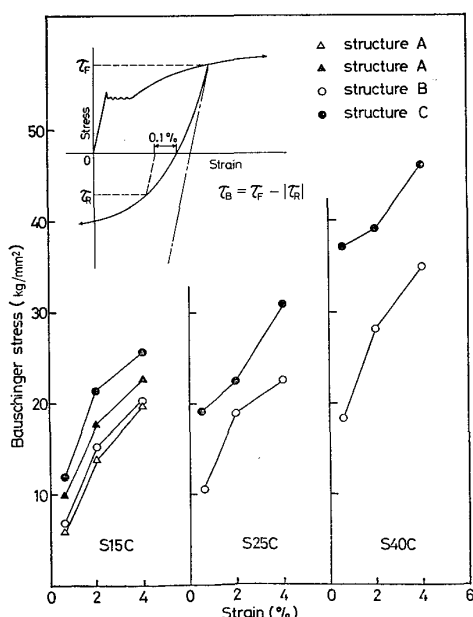


Fig. 3. Relationship between Bauschinger stress and strain.

る fore stress τ_F と 0.1% reversed stress τ_R の差として定義される。Fig. 3 はこの Bauschinger 応力を各鋼種のそれぞれの組織について求めた結果である。

S 15C の Bauschinger 応力は亜粒界の存在する組織 C

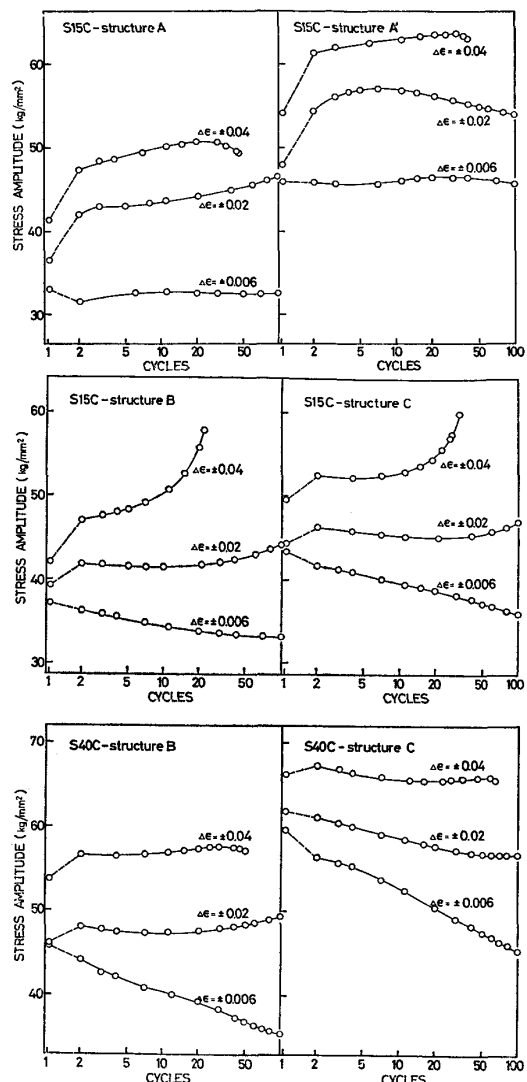


Fig. 4. Variation of stress amplitude during testing.

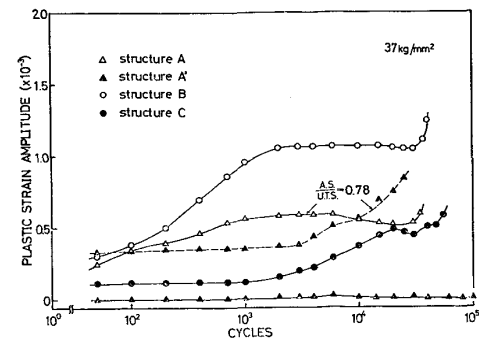


Fig. 5. Variation of plastic strain amplitude during testing (S 15C)

が一番大きく、低温焼入した組織A', 780°Cで焼戻した組織Bの順で、最も小さいのがフェライト+パーライト

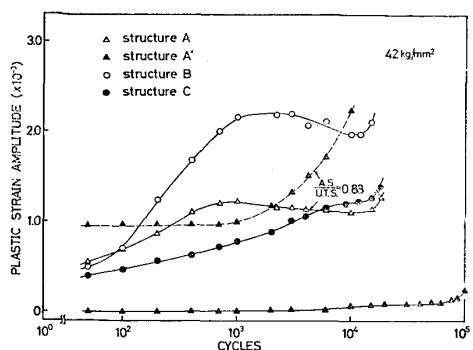


Fig. 6. Variation of plastic strain amplitude during testing (S 15C).

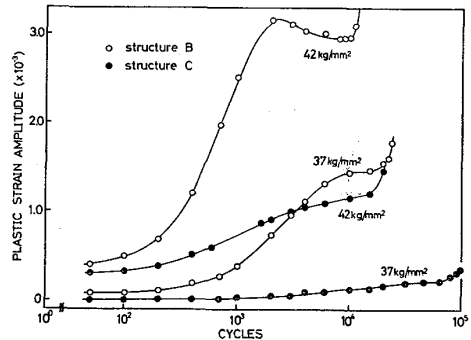


Fig. 7. Variation of plastic strain amplitude during testing (S 25C).

ト組織Aである。さらに炭素量が高い場合に組織B、組織Cとも Bauschinger応力は増加しているが、その増加の割合は組織Cの方が大である。

3・3 低サイクル定歪疲労試験

Fig. 4 は S 15C と S 40C の各組織に 4%, 2% および 0.6% の定歪振幅を与えた場合の繰返しに伴う応力振幅の変化を示したものである。

S 15C の組織Bと組織Cの挙動は、高歪の場合には硬化し、低歪の場合には軟化する傾向にあり、両組織でさほど顕著な差異は認められなかつた。しかしながら炭素含有量の高い S 40C の場合には組織Bに比べて組織Cの軟化傾向が強いことがわかる。フェライト+パーライト

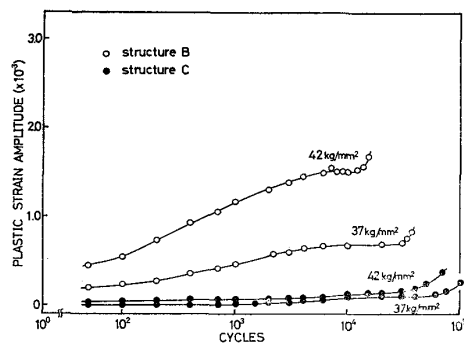


Fig. 8. Variation of plastic strain amplitude during testing (S 40C).

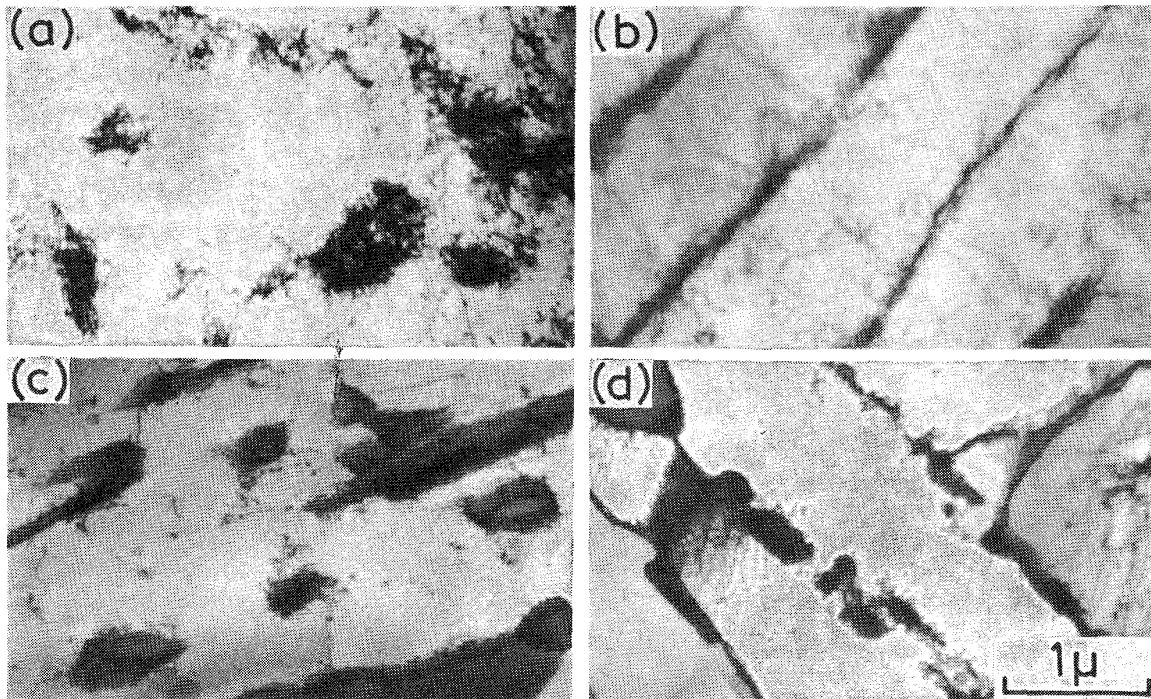


Photo. 2. Transmission electron micrographs of S 15C fatigued at $\sigma_a = 37 \text{ kg/mm}^2$. (a) structure A : after 2×10^3 cycles (b) structure A : to failure (c) structure B : to failure (d) structure C : to failure

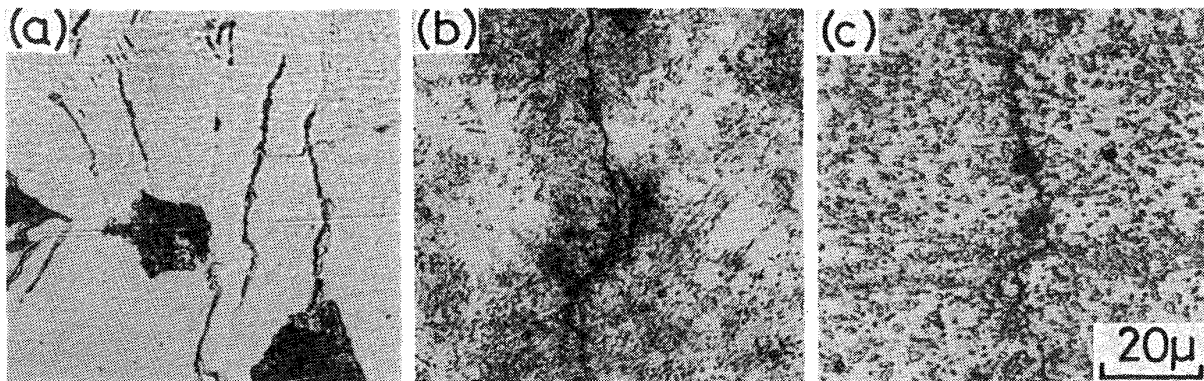


Photo. 3. Fatigue cracks on the surface of S 15C. (a) structure A (b) structure B (c) structure C

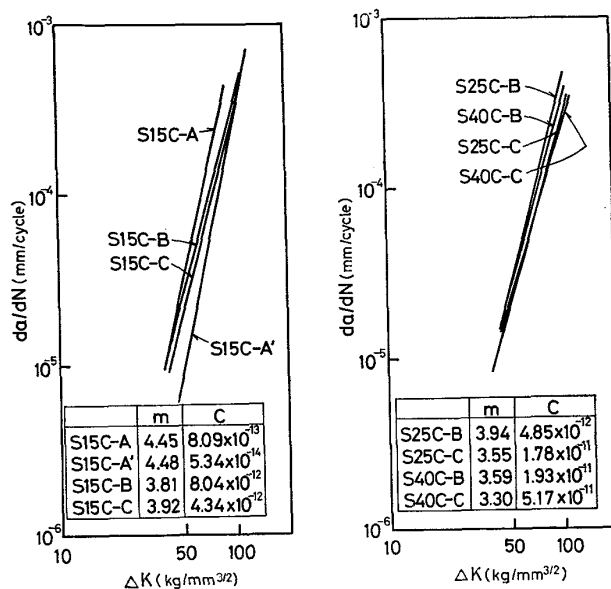


Fig. 9. Comparison of fatigue crack propagation rate as a function of stress intensity factor range

組織Aでは0.6%の歪振幅の場合にも軟化傾向は認められなかつた。一方、組織A'の場合には、2%あるいは0.6%の歪振幅を作用させた際にそれぞれ7サイクル、20サイクルの繰返し後に軟化傾向が認められた。

3.4 定応力疲労試験

Fig. 5とFig. 6はそれぞれS 15Cの各組織に37 kg/mm²と42 kg/mm²の応力振幅を作用させた場合の繰返しに伴なう塑性歪振幅の変化を示したものである。組織Aの繰返し塑性挙動は純鉄のそれ⁹⁾²⁰⁾と傾向が類似しており、初期段階で徐々に歪は増加し、ある繰返し数(37 kg/mm²では2000サイクル、42 kg/mm²では800サイクル)でほぼ一定となる。一般にその後若干歪が減少した後にき裂が発生するという傾向にあるが、この歪減少時ににおいて巨視的き裂が認められることがあるが、この時の真の塑性歪振幅の値は測定値よりもさらに低い値であ

ろうと推定される。組織A'の場合には歪振幅にはあまり変化が認められないが、組織AとA.S.(applied stress)/U.T.S.(ultimate tensile strength)の値が等しくなるような応力を作用した場合においても破線で示したような変化挙動を示し、A, A'両組織の繰返し塑性挙動は全く異質のものであろうことが示唆される。組織Bの場合には塑性歪の増加が極めて著しい。また組織Cの場合には組織A, Bに比べて歪の増加速度が極めて低い。

Fig. 7はS 25Cについての結果である。この鋼種の組織Bにはやや粗大化したセメンタイトが分散していたわけであるが、この場合さらに顕著な塑性歪の増加が認められた。S 40Cの場合(Fig. 8)も組織Cに比べて組織Bの方が軟化傾向が大であることがわかる。

3.5 内部組織および表面形態の観察

3.4で明らかとなつた巨視的歪振幅の変化挙動を微視組織との関係で明らかにするため、これら繰返し過程での透過電顕観察を行なつた結果をPhoto. 2に示した。またPhoto. 3はS 15Cの各組織の表面き裂発生形態を示したものである。これらの詳細については考察の項で述べることにする。

3.6 疲労き裂伝播試験

き裂伝播速度 da/dN を応力拡大係数の範囲 ΔK との関係で整理したのがFig. 9である。この応力拡大係数の値 K は Gross らの式²¹⁾を用いて算出した。なお疲労き裂伝播速度式 $da/dN = C(\Delta K)^m$ における指数 m と係数 C の値も合わせて図中に示した。またき裂伝播後の破面の走査電顕観察によれば、いずれの組織の場合も極めて類似した延性破壊形態を呈していた。

4. 考 察

4.1 Bauschinger 効果と低サイクル疲労特性

Bauschinger 効果は一般に炭素含有量が高いほど、また炭化物の分布が細かいほど大きくなることが知られて

いる^{22)~24)}。また岸ら²³⁾²⁴⁾は層状ペーライト組織を有する高炭素鋼(0.9%C含)の実験でその層間隔の小さいものほどBauschinger効果は大きく、球状化したものは小さくなることを報告している。本実験の低炭素鋼S15Cでは明らかに球状化セメンタイト組織Cがフェライト+ペーライト組織Aよりも大きなBauschinger効果を示しており、一見彼らの報告と矛盾するようにも見えるが、組織Aの変形の大部分がフェライト中で起こることを考えれば、合理的な結果といえる。また組織B、組織Cともに炭素量が高い場合にBauschinger応力が増加した結果も熊倉ら²²⁾や岸ら²³⁾²⁴⁾の報告と一致している。

Bauschinger効果の結晶粒度依存性についても若干の金属について報告²³⁾されており、細粒試料ほどBauschinger効果が大であることが知られている。本実験で認められた組織Bと組織CのBauschinger応力の値の差が炭素量の増加とともに大きくなつていく傾向は、組織Cの亜粒の粒径が炭素量の増加に伴い小さくなつていく傾向(Table 3)と対応し、これは亜粒界の存在がBauschinger応力の増加に極めて大きな寄与をしていることを示すものであろう。

次に定歪疲労特性についてであるが、Fig. 4に示したように組織Bと組織Cの軟化傾向が炭素量の増加に伴つて強くなること、また1サイクルと2サイクルの応力振幅の値の差すなわち図中破線で示した直線の勾配も組織Bより組織Cの方が小さいことは注目すべきである。すなわちこのような低サイクル定歪疲労の場合、前述したBauschinger応力の大小が材料の軟化傾向を決定する大きな要因であることが示唆されるわけである。

フェライト+ペーライト組織Aでは低歪振幅の場合にも軟化傾向は認められなかつたが、これはBauschinger応力が最も低かつた事実(Fig. 3)とも対応する。一方、組織A'で認められた軟化は、組織Bや組織Cで観察された軟化(Bauschinger効果と関連を有する軟化)とは異質のものであろうと考えられる。この推察は、軟化現象に先立ち硬化現象が生じている事実に基づく。この軟化の原因としては、若干の析出強化合金の疲労過程で認められている析出粒子の再固溶現象^{25)~31)}が考えられる。すなわち移動転位によってε-炭化物が分断され、その大きさが臨界以下になると局部的にreversionを起こすことになる結果、巨視的軟化現象が認められたものと推定される。

4.2 高サイクル疲労特性

Photo. 2(a)(b)は組織Aの疲労過程($\sigma_a=37\text{ kg/mm}^2$)における透過電顕写真である。(a)は塑性歪が最高値に達する2000サイクルにおける転位組織である。

この段階ですでにかなりのセル組織が形成されており、かかるセル壁の転位密度が次第に高くなると転位の運動が阻害され、塑性歪の減少が起こるものと考えられる。

組織A'の場合には、Fig. 4で認められた軟化が予測されるが、かかる歪量では炭化物の剪断-再固溶はなかなか進行しないようである(Fig. 5, Fig. 6)。しかしながら、かなり高い応力を作用させた場合(A.S./U.T.S. ≥ 0.78)、 10^3 サイクル以後に著しい歪の増加が認められ、この機構によつて局部的に軟化領域の形成が起こつていることも推察されるが、ミクロき裂の発生伝播による曲線の上昇との識別が困難なようである。

組織Bの場合には、組織Aに比べて静的強度が高いにも拘らず繰返しに伴い大きな塑性歪を示したわけであるが、疲労後の透過電顕写真(Photo. 2(c))から明らかのようにこのようなセメンタイトの分散組織においては、組織Aで認められたようなセルは形成されておらず、炭化物の周囲に多くの転位の集積が観察される。つまりかかるセメンタイトの分散組織は転位の交差すべりを容易にすると同時に、また集積した転位による一種のBauschinger効果によつて極めて高い繰返し易動度を生じたものと考えられる。その結果、セルが容易に形成されるフェライト+ペーライト組織Aの場合よりも大きな塑性歪を示したものと推定される。なおここでいうBauschinger効果は3.2で述べたBauschinger効果とは異なり、繰返し過程で導入された転位と微視組織との相互作用で生ずる効果を指し、「繰返しBauschinger効果」とでも名付けるべき現象である。したがつてFig. 3で示したように組織BのBauschinger効果が比較的低かつた結果とは異質の現象として理解すべきである。以上のように組織Bの場合には炭化物周辺にかなりの転位の集積が認められ、この転位密度がある臨界値に達した時にcrackingが起ころうとも予測されることである。

組織Cの場合(Photo. 2(d))には、亜粒内部での転位密度が繰返しに伴つて若干増加し、そこに小さなセルが形成されている所も認められたが、亜粒界の存在のゆえに他の組織ほど大きな転位組織変化は認められないようである。

4.3 表面き裂の発生

炭素鋼の疲労き裂発生に関しては、その組織がフェライト+ペーライト^{32)~34)}か焼戻しマルテンサイト^{35)~38)}である場合についてはこれまでにもかなり詳細な観察が行なわれているが、同一鋼種でのその他の種々の熱処理組織についてのき裂発生形態を詳しく検討した報告はあまり見られない。焼鈍した炭素鋼での疲労き裂は、KLE-SNILらの報文¹⁾²⁾によれば、すべり帶に発生するものが

主体であるが、この他にも結晶粒界、パーライト／フェライト境界あるいは非金属介在物界面など種々の箇所から発生することが横堀らによつて指摘されている³²⁾³³⁾。本実験のフェライト+パーライト組織 A の場合には、Photo. 3 (a) に示したように、フェライト中に極めて多数の固執すべり帯が形成され、そこにき裂が発生する場合がほとんどであつた。

また高強度鋼における疲労き裂発生については著者の一人の総説³⁹⁾に詳しいが、一般に強度上昇とともに非金属介在物からの疲労き裂発生の割合が高くなる傾向を有する³⁸⁾。本実験の組織 C (球状化セメンタイト組織)においては、すべり帯にき裂が発生している箇所も若干は認められたが、負荷応力レベルを問わず介在物にき裂が発生する確率が極めて高く (Photo. 3 (c)), 最終破壊へ導いた主き裂も介在物に発生したき裂の連結によつて出来たものである。なおこの時 10μ 程度の大きさの介在物からもき裂発生が認められた。

組織 B の場合にも一部の介在物からき裂発生が認められたが、大多数のき裂発生箇所が介在物やすべり帯とは無関係であることが特徴的である (Photo. 3 (b))。このように光学顕微鏡のオーダでとくに疲労き裂発生点としての明瞭な site を見出せないことは逆に、この組織では炭化物の周囲に転位の集積が認められた事実とも呼応し、この転位密度がある臨界値に達した時に炭化物／母相界面でき裂発生が起つたと考えることの一つの論拠を与えているように思われる。

4.4 疲労き裂伝播特性

Fig. 9 に示した S 15C のき裂伝播速度 da/dN と応力拡大係数の範囲 ΔK の関係から、 ΔK が $40 \sim 110 \text{ kg/mm}^{3/2}$ の領域では低温焼入した組織 A' が他の組織に比べて極めて良好な疲労き裂伝播抵抗を有することがわかる。これは例えば A, A' 両組織における m 値および C 値の比較からも明らかで、 m 値がほぼ等しいにもかかわらず組織 A' の C 値がかなり低い値を示している。すなわち組織 A' の直線は組織 A のそれを低伝播速度側へ平行移動した形をとる。

また組織 B や組織 C の直線は、 ΔK が $40 \sim 110 \text{ kg/mm}^{3/2}$ の領域で組織 A と組織 A' の直線の間に位置し、比較的低 ΔK レベルでは組織 A に一致し、また高 ΔK レベルでは組織 A' に近づく。この低 ΔK レベルでの直線の一貫性は、S 25C や S 40C の組織 B, 組織 C でも認められ、またこれまでにもいくつか報告されている^{40)~44)}。この事実は m と $\log C$ の関係が良好な直線となることからより明瞭に示される (Fig. 10)。このような ΔK 値において伝播速度が熱処理条件によらず一定となることに

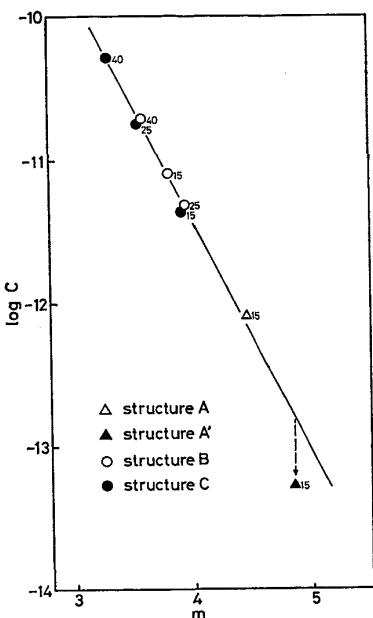


Fig. 10. Relationship between $\log C$ and m .

対しての明確な解釈はこれまでに与えられていないが、この現象は、かかる ΔK 値におけるき裂伝播速度が種々の強化組織因子の影響を受けず、マトリクス自体の性質 (強度と韌性) のみに支配されていることを示唆するものであると著者らは考える。

直線が交差する比較的低 ΔK レベル (約 $40 \text{ kg/mm}^{3/2}$) での塑性域の大きさは 0.1 mm 程度と推定されるが、き裂伝播速度は 10^{-5} mm/cycle であり、もし 1 サイクル毎にき裂が進展していると仮定すれば、繰返しごとに 10^{-5} mm ずつき裂進展につながる損傷が起つていることになる。またたとえ数サイクルごとにき裂が進展したとしても、高々 10^{-4} mm 程度ずつ「損傷 → き裂進展 → 損傷」を繰返すにすぎず、本実験の強化組織因子の最小間隔 $7 \times 10^{-4} \text{ mm}$ (S 40C 組織 C の亜粒径) に及ばない。すなわちこれらの強化因子はき裂進展につながる直接の損傷を阻止することにはならないと考えられる。HORN⁴⁵⁾ も 5 Mo-0.3C 鋼の焼戻し組織について疲労き裂伝播特性を調べ、lath 境界の析出物はき裂伝播速度に影響を与えないことを報告している。以上のように破壊が結晶粒内で起こり、その形態が類似しているときには、低 ΔK レベルでの伝播速度が組織によらず一定となるのは合理的と考えられる。組織 A' ではかかる低 ΔK レベルでも直線は一致せず、低い伝播速度を示したわけであるが、これはマトリクス自体の強度が高い (固溶強化と ϵ -炭化物による析出強化) ためと考えられる。き裂先端近傍に存在する微細な ϵ -炭化物は、4.1 で述べたように繰返しに伴つて再固溶することも考えられるが、マトリクスの

強度が他の3つの熱処理組織の強度レベルまで下がることあり得ず、組織A'だけがかかる ΔK 値で他の組織よりも低い伝播速度を示したことも極めて合理的であると思われる。

一方、高 ΔK レベルでのき裂伝播速度は材料の強度や靭性に強く依存すると考えられる。すなわちき裂先端の損傷域（前述したように繰返し塑性域の中にあつてつぎのサイクルで破壊する損傷度の高い領域をさす）は ΔK の増加とともに次第に大きくなり、それは組織因子の支配を受けることになる。なおこの損傷域は HAHN ら⁴⁶⁾が Fe-3%Si での実験で報告した $10 \times da/dN$ 程度($1/2 \times COD$)の大きさの高歪領域と類似するものと思われる。

したがつて m 値が降伏応力に依存するとする GURNEY の報告⁴⁷⁾や破壊靭性値に依存すると考えた MILLER の報告⁴⁸⁾は、その材料の強度レベルや靭性レベルによつては有効な示唆であると考えられる。

一般に強度と靭性の両者が m 値に影響をおよぼしているであろうことは、S45Cの焼戻し温度の上昇に伴う靭性の増加が m 値を低下させることを示した小林らの結果⁴⁸⁾と本実験結果(Fig. 9)の比較からも明らかである。すなわち小林らの結果では強度が高くなるにしたがい m 値の増加が認められることになるが、本実験結果では逆である(Fig. 11)。また荒木ら⁴⁹⁾は S45C の焼戻し温度のより広い領域についてき裂伝播特性を調べ、 m 値に最小値が存在することを見出し、 m 値を組織定数として提案している。 m 値に関してはこの他にもいくつかの議論があり^{50)~52)}、統一的な見解が得られるまでには至つていないようであるが、いずれにしても m 値は不変定数ではなく、組織とくにその強度と靭性に強く影響を受ける値であると結論できるようである。また組織A'のプロットが Fig. 10 の直線あるいは Fig. 11 の曲線から大きく離れて存在している事実は、組織A'の疲労き裂伝播特性が他の組織のそれと大きく異なることを暗示するものである。

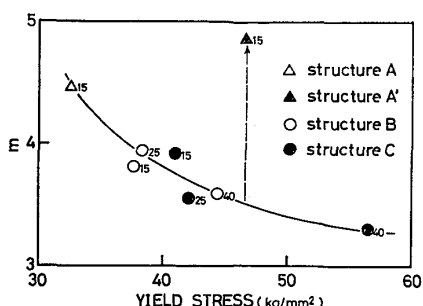


Fig. 11. Relationship between m and yield stress.

5. 結 言

炭素鋼(0.13~0.41%C含)の種々の熱処理組織、すなわちフェライト+パーライト組織(A:焼鈍材、A':低温焼入材)、微細なパーライトとセメンタイトの共存組織Bおよび亜粒界の存在する球状化セメンタイト組織Cについて、定歪および定応力の疲労試験を行い、以下の結論を得た。

(1) Bauschinger 応力は亜粒界の存在する組織Cが最も大きく、以下組織A'、組織B、組織Aの順であつた。

(2) 組織B,Cとも炭素量の増加に伴ないBauschinger 応力は増加したが、組織Cにおける増加の方が顕著であつた。これは炭素量の増加に伴う組織C中の亜粒径の減少に起因すると考えられた。

(3) 低サイクル定歪疲労試験の結果は上記 Bauschinger 効果を反映し、Bauschinger 応力の高い組織ほど定歪疲労過程での軟化傾向が顕著であつた。

(4) 組織A'では初期の定歪繰返し過程での硬化現象に引き続き軟化傾向が認められたが、これは不安定析出粒子の再固溶現象として理解された。

(5) 定応力疲労試験の結果、組織Aでは巨視的に軟化→飽和→硬化→き裂発生の過程が認められたが、これは内部転位組織の変化と対応することが確認された。

(6) 組織Bは、組織Aよりも静的強度が高いにもかかわらず、繰返しに伴い著しい塑性歪振幅の増加を示したが、これは内部転位組織の観察から、かかるセメンタイトの分散組織が転位の交差すべりを容易にしたこと、また一種の Bauschinger 効果「繰返し Bauschinger 効果」が生じたことに起因すると考えられた。

(7) 組織Cは、亜粒界の存在のため繰返しに伴う塑性歪の増加が低く抑えられ、また内部転位組織の変化も顕著ではなかつた。

(8) 表面疲労き裂は、組織Aではすべり帯に発生するものが主体であるのに対し、組織Cでは非金属介在物に発生するものが主体であった。また組織Bのき裂発生箇所は炭化物/マトリクス界面であると推定された。

(9) 切欠試験片による疲労き裂伝播特性を調べた結果、 $\Delta K \approx 40 \text{ kg/mm}^{3/2}$ で組織A、組織B、組織Cの3組織の伝播速度がほぼ一致する(10^{-5} mm/cycle)こと、また組織A'の伝播速度は組織Aのそれよりも広い ΔK の領域にわたつて低い値を示すことが判明した。

(10) (9)の結果から、疲労き裂伝播特性は高 ΔK レベルでは種々の組織因子の影響を受けるが、比較的低 ΔK レベル(10^{-5} mm/cycle 程度の伝播速度を与える ΔK)

では 10^{-4} mm 以上の間隔をもつ強化組織因子の影響を受けず、一般にマトリクスの性質（強度と韌性）のみに支配されるものと考えられた。

本研究の遂行にあたり MTS closed loop 疲労試験機の使用の機会を与えた東京大学宇宙航空研究所岸輝雄助教授に深く感謝いたします。

文 獻

- 1) M. KLESNIL, M. HOLZMANN, P. LUKÁŠ, and P. Ryš: JISI, 203 (1965), p. 47
- 2) M. KLESNIL and P. LUKÁŠ: JISI, 203 (1965), p. 1043
- 3) P. LUKÁŠ, M. KLESNIL, and P. Ryš: Z. Metallk., 56 (1965), p. 109
- 4) M. KLESNIL and P. LUKÁŠ: JISI, 205 (1967), p. 746
- 5) J. T. McGRAITH and W. T. BRATINA: Phil. Mag., 11 (1965), p. 429
- 6) J. T. McGRAITH and W. T. BRATINA: Phil. Mag., 12 (1965), p. 1293
- 7) R. P. WEI and R. J. BAKER: Phil. Mag., 11 (1965), p. 1005
- 8) R. P. WEI and R. J. BAKER: Phil. Mag., 12 (1965), p. 1089
- 9) F. V. LAWRENCE, Jr. and R. C. JONES: Met. Trans., 1 (1970), p. 367
- 10) 川辺秀昭, 山田朝治, 吉田彰, 上村正雄: 材料, 18 (1969), p. 1106
- 11) 川辺秀昭, 山田朝治, 上村正雄, 材料, 20 (1971), p. 839
- 12) 菊川真, 城野政弘, 宋智浩: 材料, 21 (1972), p. 753
- 13) 佐々木茂美, 越智保雄: 日本材料強度学会誌, 7 (1972), p. 147
- 14) L. F. COFFIN, Jr.: J. Basic Eng., Trans. ASME, (1965), p. 351
- 15) J. T. McGRAITH and W. J. BRATINA: Acta Met., 15 (1967), p. 329
- 16) D. V. WILSON and J. K. TROMANS: Acta Met., 18 (1970), p. 1197
- 17) D. V. WILSON and B. MINTZ: Acta Met., 20 (1972), p. 985
- 18) M. J. BROWN and J. D. EMBURY: Acta Met., 20 (1972), p. 627
- 19) R. L. FULLMAN: J. Metals, 5 (1953), p. 447
- 20) 堀部進, 佐川竜平, 藤田利夫, 荒木透: 鉄と鋼, 投稿中
- 21) B. GROSS and J. E. SRAWLEY: Technical Note, D-2603 NASA Jan., (1965)
- 22) S. KUMAKURA: Bulletin of JSME, 11 (1968), p. 426
- 23) 五弓勇雄, 岸輝雄: 塑性と加工, 10 (1969), p. 863
- 24) T. KISHI and I. GOKYU: Proc. ICSTIS, Suppl. Trans. ISIJ, 11 (1971), p. 1044
- 25) A. J. McEVILY, J. B. CLARK, E. C. UTLEY, and W. H. HERNSTEIN: Trans. AIME, 221 (1963), p. 1093
- 26) J. B. CLARK and A. J. McEVILY: Acta Met., 12 (1964), p. 1359
- 27) A. R. KRAUSE and C. LAIRD: Mater. Sci. Eng., 2 (1967), p. 331
- 28) C. A. STUBBINGTON and P. J. E. FORSYTH: Acta Met., 14 (1966), p. 5
- 29) J. T. MCGRATH and W. T. BRATINA: Acta Met., 15 (1967), p. 329
- 30) C. CALABRESE and C. LAIRD: Mater. Sci. Eng., 13 (1974), p. 141
- 31) C. CALABRESE and C. LAIRD: Mater. Sci. Eng., 13 (1974), p. 174
- 32) T. YOKOBORI, M. NANBU, and N. TAKEUCHI: Proc. 3rd Conf. on Dimensioning, Hungarian Academy of Science, Budapest (1968), p. 321
- 33) T. YOKOBORI, M. NANBU, and N. TAKEUCHI: Rep. Res. Inst. Str. and Frac. Mater., Tohoku Univ., 5 (1967), p. 1
- 34) P. LUKÁŠ, M. KLESNIL, J. KREJEI, and P. Ryš: Phys. Stat. Sol., 15 (1966), p. 71
- 35) 横堀武夫, 栗林久雄, 川岸正武, 竹内直記: 日本金属学会誌, 35 (1971), p. 70
- 36) 今井勇之進, 熊谷真一郎: 材料, 19 (1970), p. 1121
- 37) 熊谷真一郎, 今井勇之進: 材料, 20 (1971), p. 1114
- 38) 荒木透, 佐川竜平, 石滋宜: 鉄と鋼, 56 (1970), p. 1737
- 39) 荒木透: 日本金属学会「金属材料の疲労—ミクロとマクロの結びつき」, (1973), p. 21
- 40) G. A. MILLER: Trans. ASM, 61 (1968), p. 442
- 41) R. G. FORMAN: Trans. ASME, D89 (1967), p. 457
- 42) J. P. HICKERSON, Jr. and R. W. HERTZBERG: Met. Trans., 3 (1972), p. 179
- 43) T. YOKOBORI and T. AIZAWA: Rep. Res. Inst. Str. and Frac. Mater., Tohoku Univ., 9 (1973), p. 65
- 44) T. YOKOBORI, I. KAWADA, and H. HATA: Rep. Res. Inst. Str. and Frac. Mater., Tohoku Univ., 9 (1973), p. 35
- 45) R. M. HORN: Met. Trans., 6A (1975), p. 1525
- 46) G. T. HAHN, R. G. HOAGLAND, and A. R. ROSENFIELD: Met. Trans., 3 (1972), p. 1189
- 47) T. R. GURNEY: BWRA Report, E18/12/68
- 48) 村上理一, 小林英男, 中沢一: 日本機械学会論文集, 42 (1976), p. 2269
- 49) 荒木透, 佐川竜平, 石滋宜: 鉄と鋼, 57 (1971), p. 2042
- 50) T. YOKOBORI: Rep. Res. Inst. and Frac. Mater., Tohoku Univ., 3 (1967), p. 39
- 51) 横堀武夫: 材料強度学(岩波全書), 第2版(1974)
- 52) 荒木透, 辛亥教, 佐川竜平: 日本材料強度学会誌, 10 (1975), p. 106